# Ⅱ. 分担研究報告

食品中放射性物質等の実態調査

片岡 洋平

#### 厚生労働科学研究費補助金(食品の安全確保推進研究事業)

## 食品中の放射性物質検査システムの評価手法の開発に関する研究(23KA1006) 令和6年度研究分担報告書

#### 食品中放射性物質等の実態調査

研究分担者 片岡 洋平

国立医薬品食品衛生研究所 生化学部 第一室長

食品からの内部被ばくによる影響は人工放射性核種よりも天然放射性核種のものの方が大きいとされており、特に魚介類の喫食量が多い日本においてはポロニウム 210 の影響が大きいことがこれまでの研究により判明している。しかし、これまでに各魚介類におけるポロニウム 210 の放射能濃度のデータ数は少ない。そこで魚介類からのポロニウム 210 の被ばく線量の推定を目的に、市場に流通する魚介類のポロニウム 210 の放射能濃度を実態調査した。今年度は魚介類のうち喫食量が多いとされる 10 種類の貝について調査した。その結果、ポロニウム 210 は分析した 110 試料全てから検出された。このうち最大の濃度が検出されたのはアサリで 100 Bq/kg を超える試料もあったが、その他の貝の全ての試料で 100 Bq/kg 未満であった。貝の種類別の平均放射能濃度は、ムールガイが最も高く、シジミ、アサリ、ハマグリ、カキの順に平均放射能濃度が高かった。これらの貝では平均放射能濃度が 20-50 Bq/kg の範囲にあった。次いで、ホタテ、サザエ、ホッキガイ、ツブ、アワビの順に平均放射能濃度が高く、これらの貝では平均放射能濃度が 1-10 Bq/kg の範囲にあった。以上の結果は、これまでの報告と同等の結果であった。

また、貝の種類ごとにポロニウム 210 の被ばく線量を推定した結果、最大値はアサリの 0.020 mSv/year であった。調査した 10 種類の貝の預託実効線量の合計値は 0.049 mSv/year であり、日本で見積もられている食品からのポロニウム 210 による被ばく線量 0.73 mSv の 6.8%に相当する結果となった。今回調査した 10 種類の貝の喫食量は、貝の全喫食量の 98.3%であったことから、今回調査しなかった他の全ての貝の各預託実効線量が、調査した 10 種類の貝と同程度に推定されたと仮定しても、貝全体からの預託実効線量は 0.05 mSv/year 程度と推定され、日本で見積もられている食品からのポロニウム 210 による被ばく線量に貝が占める割合も同程度の推定値になることが考えられた。なお、近年では魚介類の喫食量は全体として若年層ほど減少傾向にあることから、現在では各貝ともに預託実効線量が推定値より低く見積もられることが推測される。

以上の結果より、一般的な食生活では、貝から過度にポロニウム 210 の内部被ばくをする可能性は低いと推測された。より正確な食品中ポロニウム 210 の被ばくの影響を評価するには、引き続き筋肉部位だけの可食部だけでなく内臓を喫食する魚介類の調査として甲殻類などについても今後の調査が重要であることが考えられる。

研究協力者 蜂須賀 暁子 国立医薬品食品衛生研究所有機化学部主任研究官

曽我 慶介 国立医薬品食品衛生研究所生化学部主任研究官

永山 彩子 国立医薬品食品衛生研究所生化学部波多江 良実 国立医薬品食品衛生研究所生化学部

門脇 光里 国立医薬品食品衛生研究所生化学部

#### A. 研究目的

平成23年3月11日に発生した東日本大 震災に伴う東京電力福島第一原子力発電所 事故により大量の放射性物質が環境中に放 出された。これによる農林水産物の汚染が 食品衛生上の問題とされただけでなく、食 品への移行による健康被害が懸念される状 況となった。事故後、厚生労働省は、半年ご とに人工放射性核種である放射性セシウム、 放射性ストロンチウム及びプルトニウムに ついて、食品からの内部被ばく線量の推定 結果や食品中の濃度の調査結果をホームペ ージで公表している。これによると、環境中 への飛散量から最も健康影響が懸念される 放射性セシウムにおいては、ここ数年間、基 準値である年間上限線量1 mSv の 0.1%程度 と推定されている。

その一方、地球上には種々の天然放射性 核種が存在し、多くの食品に元々これら天 然放射性核種が含まれているため、食事に よって体内に摂取されている。したがって、 先に述べた人工放射性核種による内部被ば くの影響を正しく評価するためには、天然 放射性核種からの内部被ばくの影響を把握 し、評価しておくことが重要である。

国連科学委員会報告 1)では、自然放射線源から受ける世界一人あたりの平均年間被ばく線量は 2.4 mSv と推定されている。このうち食品の摂取による内部被ばく線量は 0.29 mSv であり、核種としては主にカリウム 40 とポロニウム 210 や鉛 210 を含むウラン系列の核種が挙げられている(表 1)。他方、日本における自然放射線源から受ける一人

あたりの平均年間線量は、2.1 mSv と推定されており、そのうち食品の摂取に伴う内部被ばく線量は 0.99 mSv と見積もられている。このうち、カリウム 40 からは 0.18 mSv、ポロニウム 210 からは 0.73 mSv、鉛 210 からは 0.058 mSv と推定されている。

食品の摂取による内部被ばくは、事故等における緊急時の人工放射性核種によるものが注目されがちだが、平時では天然放射性核種の影響が大きくなる。カリウム 40 を除く天然放射性核種と人工放射性核種を合わせた内部被ばく線量の約 90%が天然放射性核種によるものであり、このうちの約50%がポロニウム 210 によると推定 <sup>2-3)</sup>されており、食品の摂取による内部被ばくへの寄与は大きいと言える。

ポロニウムは、酸素・硫黄・セレン等と 同じ第16属に属する元素番号84の元素で、 全ての同位体が放射性であり、安定同位体 は存在しない。同位体のうち、天然の放射性 壊変系列(ウラン系列、トリウム系列、アク チニウム系列)には7種類(ポロニウム210、 211、212、214、215、216、218)あり、いず れもα崩壊をする。ポロニウム 210 はウラ ン系列(図1)に属し、天然放射性核種のポロ ニウムでは最長の半減期 138 日であること から環境に広く存在し、α崩壊して安定核 種である鉛 206 に変わる 4。また、α線以外 の放射線をほとんど放出しないため、人体 への影響としては内部被ばくが問題となる。 人体には、食品の摂食やタバコの喫煙から ポロニウム 210 を直接取り込むほか、ラド ン 222 の吸入等のウラン系列の上流の核種

の摂取により取り込まれる。

日本では食品からのポロニウム 210 による内部被ばく線量への寄与が大きいことが示唆されており 5、令和 4 年度までの調査から、ポロニウム 210 による内部被ばく量の約 8 割が魚介類に由来することが判明している 6。

そこで本研究では、魚介類からのポロニウム 210 の被ばく線量の推定を目的に、今年度は市場に流通する貝のポロニウム 210 の放射能濃度の実態を調査した。

#### B. 研究方法

#### 1) 試料

購入する貝については、小売店での入手のし易さや後で述べる喫食量を考慮し、10種(アサリ、アワビ、カキ、サザエ、シジミ、ツブ、ハマグリ、ホタテ、ホッキガイ、ムールガイ)を選定した。

令和6年(2024年)8月から令和7年(2025年)3月にかけて首都圏の小売店等を通じて、合計110点を購入した。購入では1パックを購入単位として、生の状態の貝を購入した。

各試料は一般的な食習慣で食される部分を可食部として粉砕し、分析試料とした。アワビ、サザエ、ツブ、ホタテ、ホッキガイは身のみ、それ以外の貝については、身と内臓を一緒に粉砕した。

各試料の概要を表2に示した。

#### 2)試薬・試液等

## ①試薬、試液及び器具

- ・水:メルク社製の装置(Milli-Q Advantage) により製造した超純水(比抵抗>18.2 $M\Omega$ ・cm、TOC<3  $\mu$  g/L、最終フィルター: EDS-Pak) を使用した。
- ・硝酸、塩酸、アセトン、メタノール:特級、以上、富士フイルム和光純薬株式会社製・0.5M塩酸溶液:塩酸43.1 mLを量り取り、

水を加えて 1000 mL に定容した。

- ・4M 塩酸溶液: 塩酸 344.8 mL を量り取り、 水を加えて 1000 mL に定容した。
- ・6M 塩酸溶液: 塩酸 517.2 mL を量り取り、 水を加えて 1000 mL に定容した。
- ・8M 塩酸溶液: 36%塩酸 689.6 mL を量り取り、水を加えて 1000 mL に定容した。
- ・1M 硝酸溶液: 硝酸 64.3 mL を量り取り、 水を加えて 1000 mL に定容した。
- ・6M 硝酸溶液:硝酸 77.2 mL を量り取り、 水を加えて 200 mL に定容した。
- ・アスコルビン酸飽和溶液:アスコルビン酸 18gを量り取り、水を加えて50gとし、よく振り混ぜた。これを1500 rpm 5 minで遠心分離した後、上澄み液を分取した。
- ・抽出カラム: Sr/Spec Resin 50-100 μm Cartridges-2 ml、Eichrom Technologies 社製
- ・ステンレス板:  $\Phi$ 24.5 mm, 薄さ 1.0 mm、 東京光電社製

#### ②標準原液、標準溶液及び校正用標準線源

- ・ポロニウム 209 標準原液:ポロニウム 209(半減期:102年)標準硝酸溶液(0.100±0.003 kBq/g)、鉛 210標準原液:鉛210(半減期:22.2年)標準硝酸溶液(9.85±1.06 kBq/g)、以上、Eckert&Ziegler 社製
- ・0.4 Bq/ml ポロニウム 209 標準溶液:ポロニウム 209 標準原液 0.4 mL を量り取り、1M 硝酸溶液を加えて 100 mL に定容した。
- ・0.04 Bq/ml ポロニウム 209 標準溶液: 0.4 Bq/ml ポロニウム 209 標準溶液硝酸 50 mL を量り取り、1M 硝酸溶液を加えて 500 mL に定容した。
- ・校正用円盤標準線源:ガドリニウム 148(3.18 MeV)、アメリシウム 241(5.49 MeV)、 キュリウム 244(5.79 MeV)、以上、 Eckert&Ziegler 社製

#### ③装置等

· 電解分析装置: ANA-2、東京光電社製

・  $\alpha$  線スペクトロメータ: Alpha Analyst、PIPS 検出器: A450-18AM、 $\alpha$  線スペクトロメータ制御及び $\alpha$  線スペクトル解析ソフト: Genie 2000 Alpha Analysis Software、以上、ミリオンテクノロジーズ・キャンベラ株式会社製

## 3)食品中ポロニウム 210 の α 線分析

既報等 6-8)を参照し、試料中を硝酸で湿式 分解したのち、キレート抽出クロマトグラフィーによりポロニウムを分離し、電気分解によりステンレス鋼板上にポロニウムを析出させ、そのα線を測定した。なお、昨年度までの報告のでカラム分離を行った場合と行わなかった場合における濃度の違いに大きな差がなかったことから、内部標準物質として用いたポロニウム 209 の回収率が75%未満である場合を除き、カラム分離を行わなかった。その場合は、キレート抽出クロマトグラフィーを省略して操作した。

#### • 湿式分解

分析試料 10 g を 1L 容ビーカーに入れ、 内部標準物質として 0.04 Bq/ml ポロニウム 209 硝酸標準溶液 1 mL 及び試料が浸かる量 の硝酸を加え、時計皿で蓋をして 1 時間静 置した。ホットプレート上で 130℃まで加熱 し、硝酸蒸発後は、硝酸 30 mL 及び過酸化 水素水 1 mL を加え、乾固した。この操作を 褐色の気体発生がなくなるまで繰り返した。 湿式分解後に、6M 塩酸 溶液 20 mL を加え 120℃で乾固直前まで加熱濃縮した。

#### カラム分離

4M 塩酸溶液 20 mL を加えて加熱・懸濁し、0.45 nm のメンブレンフィルターでろ過した。抽出カラムに、コンデショニングとして 4M 塩酸溶液 20 mL を予め通液させた後、上記のろ過液を負荷した。4M 塩酸溶液 20 mL を通液後、8M 塩酸溶液 20 mL で鉛を溶

出させ、次いで 6M 硝酸溶液 4 mL を通液後、6M 硝酸溶液 20 mL でポロニウム 210 を溶出した。溶出液を130℃で乾固直前まで加熱濃縮後、6M 塩酸溶液 10 mL を加え、120℃で乾固直前まで加熱濃縮した。これに0.5M 塩酸溶液 5 mL を加えて溶解させ、ポロニウム塩化物フォーム溶液とした。

#### <u>・電着</u>

ステンレス板上にポロニウムを析出させるために、テフロン製容器の電解セルの底にステンレス板(陰極)を固定し、アスコルビン酸飽和溶液 1 ml 及びポロニウム塩化物フォーム溶液を入れた。白金電極(陽極)をステンレス板(陰極)との電極間距離が 5 mm となるように設置し、テフロン製容器をパラフィルムで軽く蓋をして、電解分析装置で、0.1 アンペアで 2 時間半通電した。通電後、テフロン製容器からステンレス板を取り出し、水とメタノールとアセトンで洗浄後、自然乾燥させて測定試料とした。

#### α線測定

ポロニウムを電着したステンレス板を、 PIPS 検出器を装備した  $\alpha$  線スペクトロメータで 86,400 秒間測定し、 $\alpha$  線スペクトロメトリを行った。

バックグラウンド計測は、ポロニウム 209(4.88 MeV)及びポロニウム 210(5.30 MeV)のエネルギー領域において、160,000 秒間測定した(0 または1 カウント)。

なお、 $\alpha$  線スペクトロメトリのエネルギー校正は 3 点の円盤標準線源を用いて行った

#### 放射能濃度の算出

 $\alpha$ 線スペクトル解析ソフトによる解析結果を用いて、ポロニウム 210 の放射能濃度及びその統計誤差を、以下の式により算出した。

$$A_{Po} \pm \Delta A_{Po} = n_{Po} \cdot \frac{D}{n_{add}} \cdot \frac{1000}{W}$$

$$\pm \Delta A_{Po} \sqrt{\left(\left(\frac{\Delta n_{Po}}{n_{Po}}\right)^2 + \left(\frac{\Delta n_{add}}{n_{add}}\right)^2 + \left(\frac{\Delta (D)}{D}\right)^2\right)}$$

ただし、 $A_{Po}$ 及び  $\Delta A_{Po}$ : ポロニウム 210 放射能及びその統計誤差(Bq/kg)、 $n_{Po}$ 及び  $\Delta n_{Po}$ : ポロニウム 210 の正味計数率及びその統計誤差(CPS)、CPS CPS CPS

#### D. 研究結果・考察

### 1) 各試料中のポロニウム 210 濃度

全 110 試料を分析した結果のうち、放射 能濃度が検出限界値を上回った場合を検出 とし、表 3 と図 2 に結果を示した。また、 検出された放射能濃度の基本統計量を表 4 に示した。なお、各試料の検出限界値は 0.06 ~0.20 Bq/kg であった。また、カラム分離を 行って分析した試料はなかった。

ポロニウム 210 は分析した試料全てから 検出された。このうち最大の放射能濃度が 検出されたのはアサリで全12 試料中1 試料 が 102 Bq/kg であったが、その他の全ての試 料では 100 Bq/kg 未満であった。

貝の種類別の平均放射能濃度は、ムールガイが最も高く、シジミ、アサリ、ハマグリ、カキの順に平均放射能濃度が高かった。これらの貝では平均放射能濃度が20-50 Bq/kgの範囲にあった。次いで、ホタテ、サザエ、ホッキガイ、ツブ、アワビの順に平均放射能濃度が高く、これらの貝では平均放射能濃

度が 1-10 Bq/kg の範囲にあった。これらの結果は、既報  $^9$  の結果(0.02-120 Bq/kg)と同等であった。

これまでにポロニウム 210 は内臓に蓄積 されることが既に判明している。ムールガイ、シジミ、アサリ、ハマグリ、カキについては、身と内臓を可食部として分析試料としたため、ホタテ、サザエ、ホッキガイ、ツブ、アワビよりも高い濃度でポロニウム 210 が検出されたと考えられた。

また、ムールガイを除く貝については、産地の違いによる放射能濃度の値に顕著な差は見られなかった。一方、ムールガイについては、外国産の試料で他の日本産の試料の放射能濃度と比較して、20%以下の濃度と明らかに低かったが、調査した試料数が少ないため、明確な傾向は不明である。放射能濃度が低かった原因としては、日本に輸入されるまでに日数がかかっていることが推測されること、ポロニウム 210 の半減期が138日であることから、試料購入日において試料中のポロニウム 210 が減衰していた可能性が考えられた。

なお、試料購入日のポロニウム 210 濃度 を減衰補正により算出したが、試料測定日 (カラム分離日)におけるポロニウム 210 は、 試料購入日において元来、含有されていた ポロニウム 210 と、親核種である鉛 210 か ら壊変により生じたポロニウム 210 の合算 となる。ここでは全てポロニウム 210 から として減衰補正しているため、鉛 210 の寄 与が大きい場合は過大評価していることに なることに注意が必要である。既報りでは、 食品中からの摂取量はポロニウム 210 が 610 Bq/year、鉛 210 が 85 Bq/year と報告さ れていることから、この比率で存在してい たと仮定し試料購入日での放射能濃度に減 衰補正すると、試料購入日に存在していた ポロニウム210より大きな値が算出される。 この比率の場合、経過日数が60日のときは、

5%過大評価となる。

### 2) 各貝の喫食量

各貝の喫食量は、平成22年度に厚生労働省医薬食品局食品安全部基準審査課の委託調査として、(独)国立健康・栄養研究所が取りまとめた資料100の値を用いた(1歳以上の全日本国民の一日平均喫食量)。各貝の一日平均喫食量を表5に示した。今回調査した10種類の貝の喫食量は、この資料における貝の全喫食量の98.3%に相当した。

なお、上記資料では各貝の摂取を摂取量 としているが、本報告書内では食品の摂取 は喫食量、ポロニウム 210 の摂取を摂取量 と記載する。

#### 3) 実効線量係数

ICRP の資料 <sup>11)</sup>で示している公衆のポロニウム 210 の預託実効線量係数を表 6 に示した。離乳食前の 3 ヶ月児を除くと、預託実効線量係数は 1.2~8.8E-06 Sv/Bq である。

#### 4) 内部被ばく線量推定

各貝のポロニウム 210 の平均濃度及び喫食量データ、並びに実効線量係数を用いて、式1及び式2により貝ごとにポロニウム210 の被ばく線量を推定した結果を表7に示した。なお、ポロニウム210 の預託実効線量係数は最も喫食量の多い公衆成人の1.2E-06 Sv/Bgを用いた。

(式 1) 各貝のポロニウム 210 一日平均 摂取量(Bq/day) = 各貝のポロニウム 210 平 均濃度(Bq/kg)×各貝の喫食量(kg/day)

(式 2) 各貝のポロニウム 210 預託実効 線量(mSv/year) = 各貝のポロニウム 210 一日 平均摂取量(Bq/day)×365(day/year) ×預託実 効線量係数(Sv/Bq)

調査した貝の可食部におけるポロニウム 210の一日平均摂取量は、最大 0.045 Bg 程 度、年間平均摂取量が最大 16 Bq 程度、預託実効線量が最大 0.02 mSv/year 程度と推定され、いずれもアサリで最大であった。推定された預託実効線量の最大値は、日本で見積もられている食品からのポロニウム 210による被ばく線量 0.73 mSv の 2.7%であった。

また、調査した 10 種類の貝の預託実効線量の合計値は 0.049 mSv/year となり、この結果は、既報 <sup>12)</sup> の結果と同等であった。また、この合計値は日本で見積もられている食品からのポロニウム 210 による被ばく線量 0.73 mSv の 6.8%に相当した。先に述べたように調査した 10 種類の貝の喫食量は、貝の全喫食量の 98.3%であったことから、今回調査しなかった他の全ての貝の各預託実効線量が、調査した 10 種類の貝と同程度に推定されたと仮定しても、貝全体からの預託実効線量は約 0.05 mSv/year となり、日本で見積もられている食品からのポロニウム 210 による被ばく線量に貝の占める割合も同程度の推定値になることが考えられた。

なお、今回の預託実効線量の推定に用いた各貝の喫食量は 2005~2007 年の資料 <sup>10)</sup> に基づいているが、水産白書 <sup>13)</sup>によると近年、魚介類の喫食量が年々減少しており 2021 年の資料と比較すると約7割に減少していることから、現在ではより低い値として預託実効線量が推定されると推測される。

#### E. 結論

食品からの内部被ばくによる影響は人工 放射性核種よりも天然放射性核種のものの 方が大きいとされており、特に魚介類の喫 食量が多い日本においてはポロニウム 210 の影響が大きいことがこれまでの研究によ り判明している。そこで魚介類からのポロ ニウム 210 の被ばく線量の推定を目的に、 市場に流通する喫食量の多い10種類の貝に おけるポロニウム 210 の放射能濃度を実態 調査した。

その結果、アサリで最大 100 Bq/kg を超える放射能濃度が見られたが、その他の全ての貝の試料では 100 Bq/kg 未満であった。また、平均放射濃度は 10 種類の貝を通じて、1-50 Bq/kg の範囲にあった。以上の結果は、既報 10)と同等の結果であった。

また、貝ごとにポロニウム 210 の被ばく 線量を推定した結果、最大値はアサリの約 0.02 mSv/year であった。また、調査した 10 種類の貝の預託実効線量の合計値は 0.049 mSv/year であり、日本で見積もられている 食品からのポロニウム 210 による被ばく線 量 0.73 mSv の 6.8%に相当した。調査した 10 種類の貝の喫食量は、貝の全喫食量の98.3% であったことから、貝全体からの預託実効 線量は約 0.05 mSv/year と推定され、日本で 見積もられている食品からのポロニウム 210 による被ばく線量に貝が占める割合も 同程度の推定値になることが考えられた。 なお、近年では魚介類の喫食量は全体とし て若年層ほど減少傾向にあることから、現 在ではより低い値として預託実効線量が推 定されると推測される。

以上の結果より、一般的な食生活では、貝から過度にポロニウム 210 の内部被ばくをする可能性は低いと考えられた。引き続き筋肉部位だけの可食部だけでなく内臓を喫食する魚介類の調査が期待され、これに該当する甲殻類などについても今後の調査の重要性が示された。

#### F. 参考文献・資料

1) United Nations Scientific Committee on the Effects of Atomic Radiation. Sources and effects of ionizing radiation, united nations scientific committee on the effects of atomic radiation (UNSCEAR) 2008 report, volume I: Report to the general assembly, with scientific annexes A and B- sources. United Nations, (2010).

- 2) International Atomic Energy Agency, Exposure due to radionuclides in food other than during a nuclear or radiological emergency, *IAEA-TECDOC-2011*, IAEA, Vienna (2022).
- 3) International Atomic Energy Agency, Exposure due to radionuclides in food other than during a nuclear or radiological emergency. part 1: technical material, Safety Reports Series No. 114, IAEA, Vienna (2023).
- 4) アイソトープ手帳 12版,日本アイソトープ協会 (2020).
- 5) 生活環境放射線(国民線量の算定)第3 版, 公益財団法人 原子力安全研究協会 (2021).
- 6) 令和 4 年度 厚生労働科学研究補助金 食品の安全確保推進研究事業「食品中 の放射性物質等検査システムの評価手 法の開発に関する研究」分担研究報告 書「食品中放射性物質等有害物質濃度 データ調査」
- 7) Miura, T., Hayano, K., Nakayama, K. Determination of <sup>210</sup>Pb and <sup>210</sup>Po in environmental samples by alpha ray spectrometry using an extraction chromatographic resin. *Analytical sciences*, 15, 23-28 (1999).
- 8) 衛生試験法・注解 2020, 公益社団法人 日本薬学会 (2020).
- 9) Ota T, Sanada T, Kashiwara Y, Morimoto T,

- Sato K. Evaluation for committed effective dose due to dietary foods by the intake for Japanese adults. *Jpn. J. Health Phys.*, 44, 80-88 (2009).
- 10) 平成 22 年度受託調査(厚生労働省医薬 食品局食品安全部基準審査課)「食品摂 取頻度・摂取量調査の特別集計業務報 告書」及び「食品摂取頻度・摂取量調 査の特別集計業務報告書追加資料」
- 11) ICRP, Age-dependent Doses to Members of the Public from Intake of Radionuclides
  Part 5 Compilation of Ingestion and Inhalation Coefficients. ICRP Publication 72. Ann. ICRP 26 (1995).
- 12) Kim, S. H., Hong, G. H., Lee, H. M., Cho, B. E. <sup>210</sup>Po in the marine biota of Korean coastal waters and the effective dose from seafood consumption. *Journal of environmental radioactivity*, 174, 30-37 (2017).
- 13) 令和 5年度 水產白書, 水產庁 (2024).

#### G. 研究発表

- 1. 論文発表なし
- 2. 学会発表
- 1) 片岡洋平、永山彩子、波多江良実、曽我 慶介、蜂須賀暁子、柴田識人:魚に含有 される天然放射性核種ポロニウム210の 実態調査. 第110回日本食品衛生学会学 術講演会 春日井市(2024.11.8)

#### H. 知的財産権の出願·登録状況

特許取得
 なし

- 2. 実用新案登録なし
- 3. その他 なし

表1 自然放射線源による一人年間被ばく線量

被ばく区分	被ばく線源	平均実効線量(mSv/year)		
		世界 <sup>*1</sup>	日本*2	
	直接電離成分と光子成分	0.28	-	
宇宙放射線	中性子成分	0.1	-	
	宇宙線生成放射性核種	0.01	-	
	宇宙線および宇宙線生成 合計	0.39	0.3	
	屋外	0.07	-	
外部地殼放射線	屋内	0.41	-	
	外部地殼放射線 合計	0.48	0.33	
	ウラン、トリウム系列	0.006	0.006	
	ラドン222	1.15	0.37	
吸入	トロン(ラドン220)	0.1	0.09	
	喫煙(Pb-210、Po-210など)	-	0.006	
	吸入 合計	1.26	0.47	
	カリウム40	0.17	0.18	
	ウラン、トリウム系列	0.12	0.80	
経口摂取	このうちポロニウム210、鉛210	-	0.788	
経口授収	炭素14	-	0.014	
	トリチウム	-	0.0000082	
	経口摂取 合計	<u>0.29</u>	0.99	
	合計	2.4	2.1	

<sup>\*1</sup> UNSCEAR2008 年報告書 Vol.1 付属書 B. 表 12

<sup>\*2</sup> 原子力安全研究協会「生活環境放射線 第3版」(令和2年11月)

表 2 分析試料の概要

茨茨島三茨島茨鳥茨島/本北北北北北北城城根重城根城取城根/道道道道道道道道道道
島三茨島茨鳥茨島 北北北北北北根重城根城取城根 道道道道道道道道
三茨島茨鳥茨島 北北北北北北北城城城城城村海海海海海海道道道道道道道
茨島茨鳥茨島 北北北北北北城根城取城根 道道道道道道道
島茨鳥茨島 北北北北北北 根城取城根 道道道道道道道道
茨島茨島 北北北北北北城取城根 道道道道道道道道道
鳥茨島 北北北北北海 海海海海海海 道道道道道道道道
茨島海海海海 北北北北海海 海道道道道道道道道道
島根 北海海道道 北海海道道道道道道道道道道道
北海道 北海道 北海道 北海道 北海道 北海道
北海道 北海道 北海道 北海道 北海道
北海道 北海道 北海道 北海道
北海道 北海道 北海道
北海道 北海道
北海道
北海道
_
千葉
千葉
千葉
愛知
三重
千葉
千葉
千葉
千葉
中国
三重
一 千葉
千葉
千葉
千葉
青森
北海道
青森
静岡
北海道
北海道
<u>北海道</u> 宮城
宮城
_

表 3 試料の分析結果

試料番号	種類	放射能濃度 (Bq/kg)	統計誤差 (Bq/kg)	試料番号	種類	放射能濃度 (Bq/kg)	統計誤差 (Bq/kg)
1		33.19	1.64	56		22.91	1.19
2		24.33	1.27	57		66.45	3.20
3		27.52	1.35	58		44.85	2.16
4		22.87	1.15	59		20.59	1.04
5		19.35	0.95	60	シジミ	39.49	2.06
6	アサリ	26.94	1.47	61		56.13	2.68
7	7 9 9	30.44	1.51	62		28.24	1.53
8		32.00	1.67	63		76.68	3.90
9		22.85	1.19	64		18.06	0.93
10		73.05	3.77	65		45.52	2.18
11		25.78	1.31	66		1.10	0.10
12		102.33	4.80	67		2.87	0.19
13		1.92	0.15	68		5.65	0.35
14		2.56	0.20	69	ツブ	7.43	0.48
15		2.29	0.16	70		3.42	0.25
16		4.50	0.28	71		0.77	0.08
17	アワビ	1.73	0.13	72		1.17	0.11
18		1.11	0.10	73		3.94	0.26
19		1.30	0.12	74		36.14	1.91
20		1.31	0.11	75		42.42	2.27
21		1.16	0.10	76		37.54	1.94
22		63.53	3.22	<del></del>		28.29	1.45
23		8.24	0.50	78		20.96	1.04
24		8.95	0.51	79		46.06	2.28
25		48.51	2.36	80		41.37	2.06
26		59.99	3.08	81	ハマグリ	72.98	3.77
27		62.27	3.06	82		33.65	1.66
28		38.41	1.82	83		8.77	0.50
29	カキ	13.38	0.74	84		10.32	0.56
30		12.82	0.66	85		27.09	1.38
31		71.93	3.26	86		33.51	1.57
32		13.27	0.68	87		25.63	1.28
33		16.20	0.82	88		32.77	1.74
34		8.41	0.46	89		18.80	0.98
35		10.13	0.54	90		14.13	0.74
36		7.00	0.38	91		7.18	0.39
37		10.36	0.55	92		9.84	0.51
38		8.19	0.47	93		11.84	0.67
39		7.53	0.43	94	ホタテ	7.38	0.43
40		3.52	0.43	95		3.53	0.45
41		6.61	0.24	95 96		5.89	0.20
42	サザエ	7.33	0.38	90 97		1.79	0.34
43	, , <del>_</del>	9.98	0.43	98		10.70	0.13
43		10.41	0.68	99		4.63	0.30
45		4.85	0.08	100		9.95	0.56
43 46		4.83	0.29	100		9.93 7.54	0.36
47 48		3.30	0.21 1.50	_ 102	ホッキガイ	8.21	0.56
		28.57		103		8.35	0.47
49		31.30	1.55	104		2.10	0.16
50		26.48	1.26	105		2.56	0.17
51	シジミ	34.13	1.75	106		2.70	0.19
52		44.92	2.20	107		65.80	3.17
53		30.57	1.54	108	ムールガイ	43.77	2.22
54		43.16	2.20	109		7.03	0.39
55		33.29	1.57	110		83.35	3.88

表 4 種類ごとの実態調査結果の概要

# a) 平均值

		平均値	
TT 1/2	11 4 1 51 546 -		1-11-14
種類	放射能濃度	標準偏差	相対標準偏差
	(Bq/kg)	(Bq/kg)	(%)
ムールガイ	49.99	32.90	66
シジミ	38.41	20.03	52
アサリ	36.72	24.93	68
ハマグリ	33.17	15.39	46
カキ	29.54	24.76	84
ホタテ	9.11	5.07	56
サザエ	6.93	2.69	39
ホッキガイ	5.75	3.11	54
ツブ	3.30	2.36	72
アワビ	1.99	1.07	54

## b) 最大值、最小值、中央值、検出数

	最大値(Bq/kg)		最小値(Bq/kg)		中央値(Bq/kg)		
種類	放射能濃度	統計誤差	放射能濃度	統計誤差	放射能濃度	統計誤差	(分析試料数)
ムールガイ	83.35	3.88	7.03	0.39	54.78	2.74	4(4)
シジミ	76.68	3.90	18.06	0.93	33.71	1.66	18(18)
アサリ	102.33	4.80	19.35	0.95	27.23	1.42	12(12)
ハマグリ	72.98	3.77	8.77	0.50	33.51	1.57	15(15)
カキ	71.93	3.26	7.00	0.38	13.38	0.74	15(15)
ホタテ	18.80	0.98	1.79	0.15	8.61	0.47	10(10)
サザエ	10.41	0.68	3.30	0.21	7.33	0.43	11(11)
ホッキガイ	9.95	0.56	2.10	0.16	6.08	0.39	8(8)
ツブ	7.43	0.48	0.77	0.08	3.15	0.22	8(8)
アワビ	4.50	0.28	1.11	0.10	1.73	0.13	9(9)

\*:検出限界値を終える濃度で検出された試料数

表 5 各貝の一人あたりの一日平均喫食量

種類	一日平均喫食量 (g)
ホタテ	1.721
カキ	1.271
アサリ	1.223
シジミ	0.277
ツブ	0.089
ハマグリ	0.079
サザエ	0.055
アワビ	0.032
ホッキガイ	0.017
ムールガイ(イガイ)	0.011

表 6 ポロニウム 210 の預託実効線量係数

年齢	預託実効線量係数 (Sv/Bq)	
3ヶ月(0~1歳)	2.6E-05	
1歳(1~2歳)	8.8E-06	
5歳(2歳~7歳)	4.4E-06	
10歳(7~12歳)	2.6E-06	
15歳(12~17歳)	1.6E-06	
成人(17歳を超える)	1.2E-06	

表 7 各貝中のポロニウム 210 からの被ばく線量の推定値

		10	
	ポロニウム210	ポロニウム210	ポロニウム210
種類	平均摂取量	平均摂取量	預託実効線量
	(Bq/day)	(Bq/year)	(mSv/year)
アサリ	4.5E-02	16	2.0E-02
カキ	3.8E-02	14	1.6E-02
ホタテ	1.6E-02	5.7	6.9E-03
シジミ	1.1E-02	3.9	4.7E-03
ハマグリ	2.6E-03	0.96	1.1E-03
ムールガイ	5.5E-04	0.20	2.4E-04
サザエ	3.8E-04	0.14	1.7E-04
ツブ	2.9E-04	0.11	1.3E-04
ホッキガイ	9.8E-05	0.036	4.3E-05
アワビ	6.4E-05	0.023	2.8E-05

実効線量係数:公衆成人の1.2E-06 Sv/Bqを用いて推定した

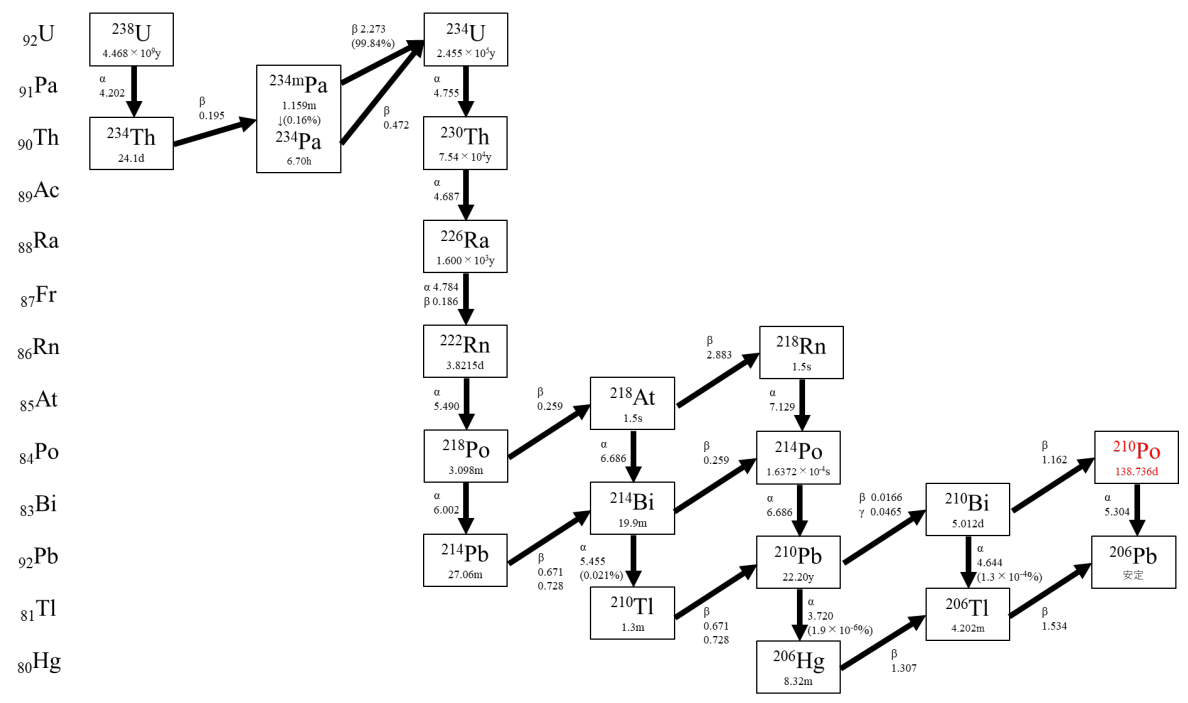
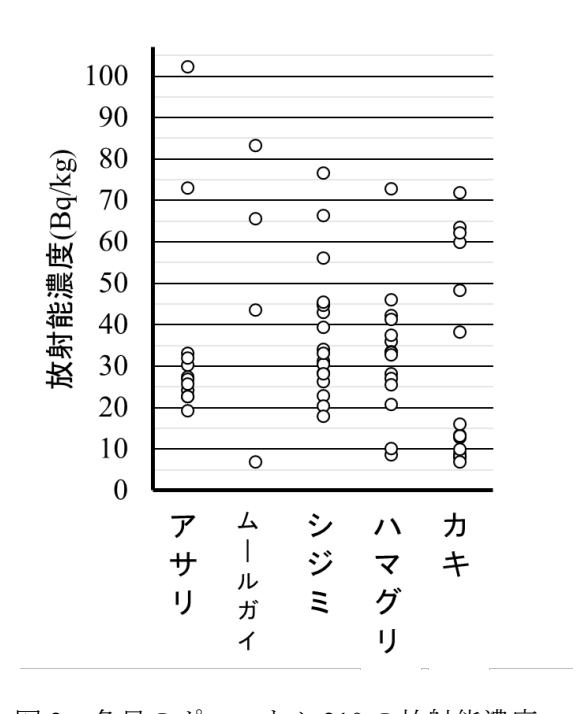


図1ウラン壊変系列図

核種の下の数字は半減期、壊変様式の下または横の数字は放射線のエネルギー(MeV)を示す。



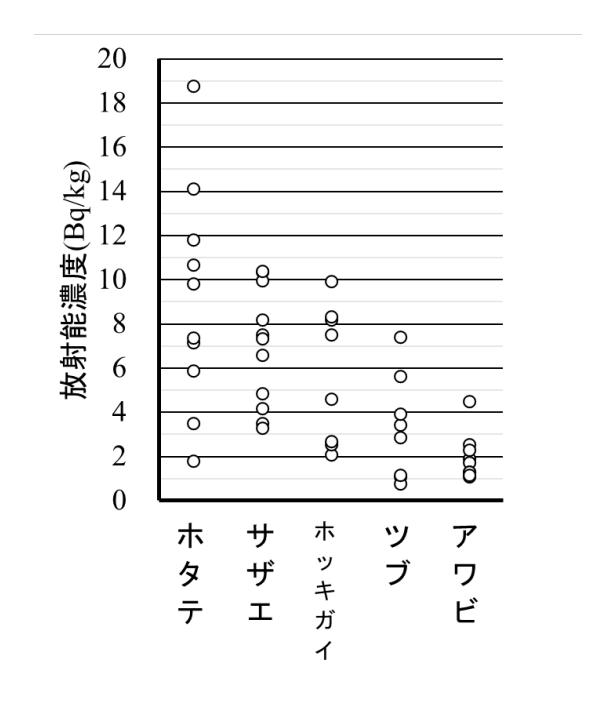


図 2 各貝のポロニウム 210 の放射能濃度